

IV—1 粘土フロックによる圧縮沈降に関する基礎的研究

九州大学 正員 栗谷陽一

〃 桥田哲也

学生員 ○鴻山英吉

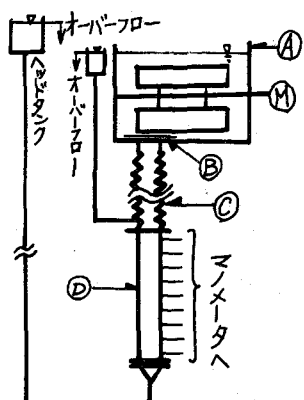
〃 古賀寛一

1.)はじめに

水質汚濁や環境保全が強く叫ばれてゐる今日、水処理プロセス中の汚泥の処理区分の重要性はますます増加している。ところが、ニックナーにおける圧縮沈降および脱水プロセスは、Kynch, Mark, Kohler など数の研究がなされてゐるにもかかわらず、スラッシュランケット内の有効応力を求めしめといひ等、との現象の解析、および定式化は、まだ多くなされていない。本実験は圧縮沈降および脱水プロセスの定式化を目的とし、その第一歩として、実験室内における模型槽を用いた圧縮沈降実験を行ない、若干の知見を得たのでここに報告する。

2.) 実験装置および方法

実験装置：概略は図一-1とおりである。Ⓐはシヤーテスター(60cm×60cm×60cm, 216l)で、実験では水深60cm(180l)となるようCとDの接合部からの越流用パイプ上下動により調節する。Ⓑはフロック製作中、フロックをこのパイプと隔壁するためのフタであり、フロックを沈降させる時はこれを開放する。Ⓓは沈降筒(内径10cm, 断面積78.5cm², 高さ1mのアクリルパイプ)であり、Ⓐで作ったフロックはパイプⒹを経てⒹに沈降する。このパイプの壁面には小穴があけられており、マノメータによる水頭測定、および試料の採取に利用する。Ⓓの底部にはステンレス焼結板フィルターを設け、フロックの沈降を防止するとともに、上向流を整流させる。



実験方法：まずシヤーテスターⒶでフロックを作る。この際、原水としては学内水道水を用い、濃度としては硫酸カオリニを濃度2,000ppmとなるよ

うに調整する。次に硫酸バニード(20ppm)を注入後、五分間の急速攪拌(35ppm)を行ない、さらに凝聚補助剤としてセパランを2ppmとなるように注入後、10分間の緩慢攪拌(2ppm)を行なう。フロックは高い剪断応力を受けないようにするため、フタⒷを開放し、しきり後、Ⓒを通してⒹに直接沈降させる。こうすることにより、フロックに高い剪断応力を加えることなくシヤーテスターから、沈降筒Ⓓに移すことができる。沈降筒Ⓓに十分フロックが沈降した後上部を放水後、CとⒹの接合部を外す。マノメータと沈降筒とを連絡するビニールパイプを開じて、いわばコックを外し、水頭差が読みられるようになる。ビニールパイプ先端にはフロックの侵入を防ぐためにタバコのフィルターを挿入してあるのでメニスカスが静止するまで待つ。フロック濃度が正常状態に回復するまで上向流速を減少しメニスカスが静止した後の水頭を、よみとり頭微鏡で測定する。この際固液界面の高さHと水温を測定しておく。測定終了後、マノメータに引き出されていわば小穴までの区間の全試料を採取し、それが該区間での全乾燥重量をもじりてその区間を代表する濃度および濃度を測定する。

3.) 圧縮沈降に関する基本式

定常状態における固相、液相および全体の運動方程式は次のとおりである。

$$\text{固相} - \frac{3}{8}\epsilon\alpha_x [(1-\epsilon)p'_L + \sqrt{\epsilon}(v_L - v_S) - (1-\epsilon)p_S g + p'_L] \beta \alpha_x (1-\epsilon) = 0 \quad (1)$$

$$\text{液相} - \epsilon^2 \alpha_x^2 \alpha_x - \epsilon \alpha_x (v_L - v_S) - \epsilon p_S g = 0 \quad (2)$$

$$\text{全} - \frac{3}{8}\epsilon^2 \alpha_x [p'_L + (1-\epsilon)p'_L] - [(1-\epsilon)p_S + \epsilon p_L] g = 0 \quad (3)$$

ここで、 p'_L : 粒子の真の圧力, p'_L : 流体の真の圧力, α_x : 粒子の真の移動速度, v_L : 流体の真の移動速度

ε : 空隙率, ρ : 密度, g : 重力の加速度, $\psi(\varepsilon, \mu)$: 基性抵抗係数, μ : 粘性係数, さらに $P_e = P'_e - \rho g(h_0 - x)$ (h_0 : 水表面の高さ) ただし, $P_s = [P'_s - P'_e + \rho g(h_0 - x)](1 - \varepsilon)$ とおくと, P_e は静水圧を差し引いた水圧, P_s は圧縮された時の水中での有効応力となる。

さらに $T_e = \varepsilon V_e$, $V_s = (1 - \varepsilon) V_e$, $\psi/\psi' = \mu/K$, 水中のせんかく密度: $\rho' = (1 - \varepsilon)\rho_s + \varepsilon\rho_e$ とおけば、(1), (2), (3) は

$$\text{固相 } \frac{\partial P_s}{\partial x} + \mu K (T_e - \varepsilon / \psi' \cdot V_s) - (\rho' - \rho_e) g = 0 \quad (1)'$$

$$\text{液相 } -\frac{\partial P_s}{\partial x} - \mu K (T_e - \varepsilon / \psi' \cdot V_s) = 0 \quad (2)'$$

$$\text{全体 } -\frac{\partial}{\partial x} \{ P_s + P_e \} - (\rho' - \rho_e) g = 0 \quad (3)'$$

と導ける。

4) 実験結果と考察

水圧, フロックの水中での見かけ重量, 界面からの積分値およびこれらを差し引いた有効応力を各々水頭表示して実験例を図-3, 4 に示す。これらからわかるように有効応力は下方に向かって直線的に増大していくことがわかる。本実験における上水流を除き, 界面を静止させていくため, 粒子の空隙速度がすむとすこい。1 点が 2 (2) により P_s , V_s と求められれば, $K = K(\varepsilon)$ として透水係数と空隙率の関係を求めることができる。これを図-4 に示す。

横軸には $\varepsilon/(1 - \varepsilon)$ をとっている。これらは類似的で $K = \psi\varepsilon^3/(1 - \varepsilon)^2$ とおけば、 ε のとき, $\psi = 2.3 \times 10^{-6}$ とする。この表現においては用いるフロックの形状を無視し, 内一化したことになり, 若干問題はある。しかし圧縮が十分に行なわればフロックの形状は保たれなくなると考えられる。

一方, SF と ε の関係は図-3 に示すように, $SF(ppm) = 2.50 \times 10^6$ となつており, $SF(ppm) = \rho_{dry} \times 10^6 (1 - \varepsilon)$ から, 平均として $\rho_{dry} = 2.50$ であることを示している。この値は若干低いものであるけれども, 実験で用いた装置がオーバーの有機物等を含んでいたためと考えられる。さらに有効応力 P_s と $(1 - \varepsilon)$ の関係を図-4 に示す。セパランを用いたフロックの浸透速度は通常 $SF \approx 90,000 ppm$ である。これと図-3 では図-6 から $1 - \varepsilon = 0.035$ となる。より本題における P_s は $1 - \varepsilon = 0.035$ 附近で 0 になつてある。バンドを作ったフロックではこの値はもつと小さいと考えられる。この場合, つけた $(1 - \varepsilon)$ の増加とともに飽和し $(1 - \varepsilon)$ の増加, つまりと, 減少する容易度が減ることが読みとれる。またこの P_s がかなり分散してあるのは ε に対する感度がかなり困難であることに起因する。圧縮の進行に伴うチャニテリングが発生し, 二次的解析が必要となるためと考えられる。

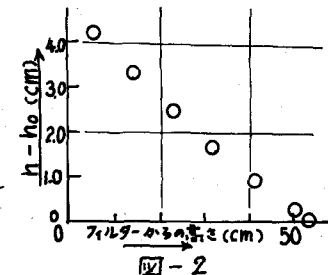


図-2

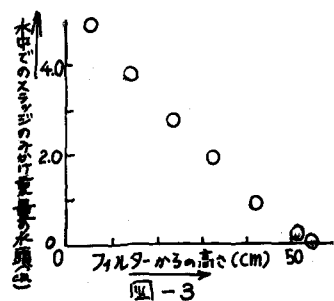


図-3

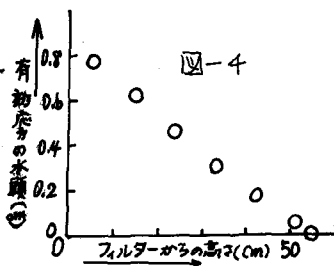


図-4

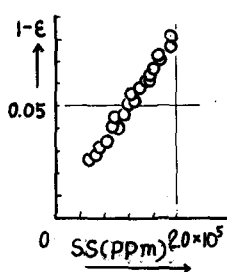


図-5

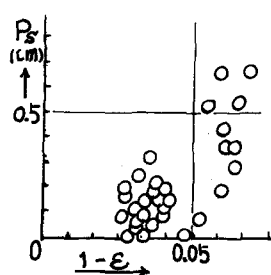


図-6

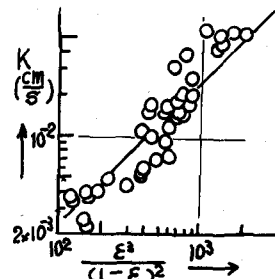


図-7